

Adaptive nichtlineare Regelung mittels RLS und MPC (C/GMRES)

Johannes Diwold

13.Okttober 2016

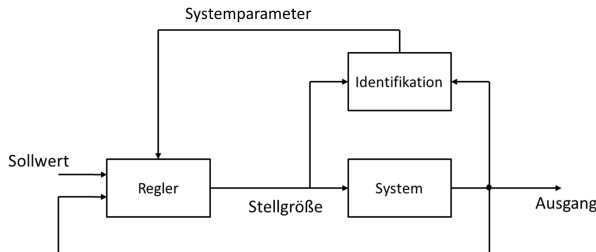
Einführung

- Motivation

- Optimale Regelung nichtlinearer Systeme
- Systemverhalten ändert sich über der Zeit

- Adaptiver Regelkreis

- Identifikation: Recursive Least Squares (RLS)
- Regler: Nonlinear Model Predictive Control (NMPC) nach C/GMRES



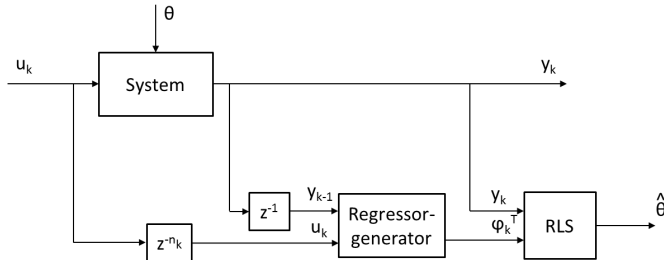
Recursive Least Squares

- Modellstruktur

- Polynomiale NARX Modelle

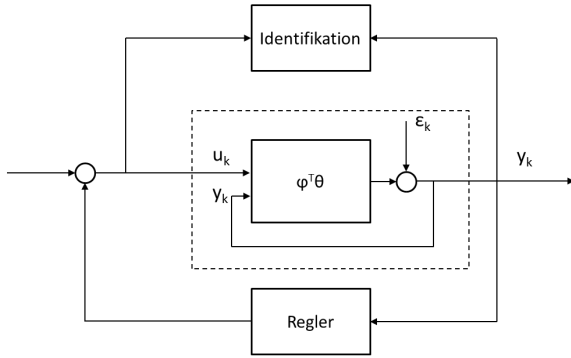
$$\begin{aligned}y_k &= \theta_0 + y_{k-1}\theta_1 + y_{k-2}\theta_2 + u_{k-1}\theta_3 + y_{k-1}y_{k-2}\theta_4 + \\&\quad y_{k-1}u_{k-1}\theta_5 + y_{k-2}u_{k-1}\theta_6 + y_{k-1}^2\theta_7 + y_{k-2}^2\theta_8 + u_{k-1}^2\theta_9 + \epsilon_k \\&= \varphi_k^T \theta + \epsilon_k\end{aligned}$$

- Regressorselektion zur Vermeidung von Overfitting
- Exponentielles Vergessen
- Implementierung



Closed-Loop-Identifikation

- Probleme
 - Unzureichende Anregung
 - Korrelation der Störung ϵ_k mit den Regressoren
- Abhilfe
 - Dithersignal (Zusätzliches Anregungssignal)



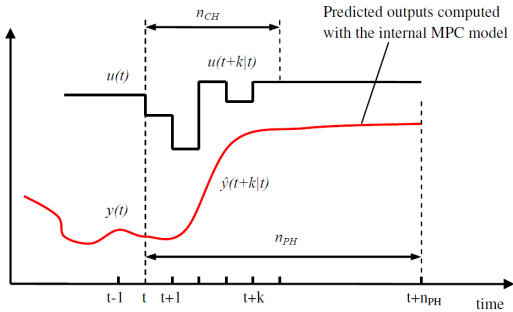
Nonlinear Model Predictive Control

- Modell

$$x_{k+1} = f(x_k, u_k, p_k)$$

- Minimieren der Kostenfunktion

$$J = \varphi(x^u(k+K, x_k), p_{k+K}) + \sum_{i=k}^{k+K-1} L(x_i^u, u_i, p_i)$$



C/GMRES-MPC

- Prinzip der C/GMRES-Methode
 - Euler Lagrange Formulierung

$$H = \lambda^T f + L$$

$$\frac{\partial H}{\partial u} = 0, -\lambda^T = \frac{\partial H}{\partial x}, \lambda_K^T = \frac{\partial \varphi}{\partial x}$$

$$F(U) = \begin{bmatrix} \frac{\partial H}{\partial u_1} \\ \vdots \\ \frac{\partial H}{\partial u_K} \end{bmatrix} = 0, U = [u_1, \dots, u_K]$$

- Continuation method

$$\dot{F}(U) = \frac{\partial F}{\partial U} \dot{U} + \frac{\partial F}{\partial x} \dot{x} + \frac{\partial F}{\partial t}$$
$$\dot{F} = A_S F$$

$$\dot{U} = \frac{\partial F^{-1}}{\partial U} (A_S F - \frac{\partial F}{\partial x} \dot{x} - \frac{\partial F}{\partial t})$$

Diskreter Input/Output-C/GMRES-MPC

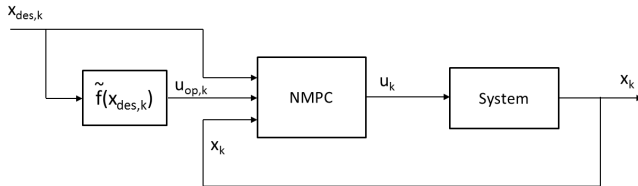
- Modell

$$x_{k+1} = f(x_k, \dots, x_{k-n_x}, u_{k-n_k}, \dots, u_{k-n_k-n_u}, p_{k-n_{pk}}, \dots, p_{k+1-n_{pk}-n_p})$$

- Implementierung

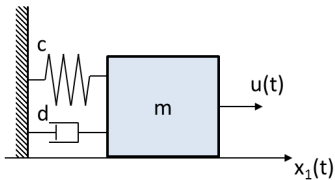
- Stationäre Referenz $x_{des,k}$
- Stationärer Eingangsoffset $u_{op,k}$

$$x_{des,k} = f(x_{des,k}, u_{op,k}, p_k) \rightarrow u_{op,k} = \tilde{f}(x_{des,k}, p_k)$$



Analyse der C/GMRES-Lösung

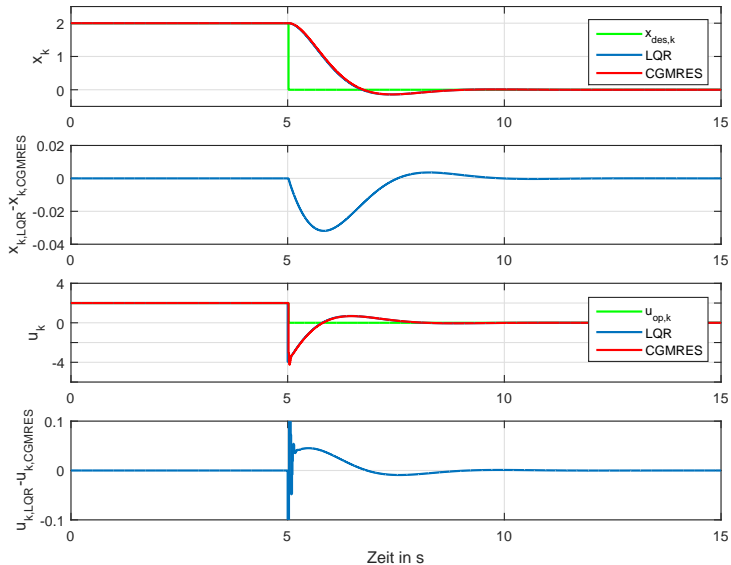
- Regelung eines linearen Federmassenschwingers mit $m = 1 \text{ kg}$, $d = 1 \text{ Ns/m}$ und $c = 1 \text{ N/m}$



$$x_{k+1} = x_k(2 - T_s) - x_{k-1}(1 - T_s + T_s^2) + T_s^2 u_{k-1}; T_s = 0.01 \text{ s}$$

- C/GMRES-MPC
 - $L = \tilde{Q}(x_k - x_{des,k})^2 + \tilde{R}(u_k - u_{op,k})^2$ mit $\tilde{Q} = 8T_s$, $\tilde{R} = T_s$
 - Prediction horizon $T_f = 10\text{s}$
- LQR
 - $Q = \text{diag}(8T_s, 10^{-6})$ und $R = T_s$

Analyse der C/GMRES-Lösung



Kombination von RLS und MPC

- Regelung eines nichtlinearen Federmassenschwingers mit unbekannten $m(t)$, $d(t)$ und $c(t)$

$$x_{k+1} = 2x_k - x_{k-1} - \frac{T_s^2 c_k}{m_k} x_{k-1}^3 - \frac{T_s d_k}{m_k} (x_k - x_{k-1}) + \frac{T_s^2}{m_k} u_{k-1} + \epsilon_k$$

- Regressortransformation

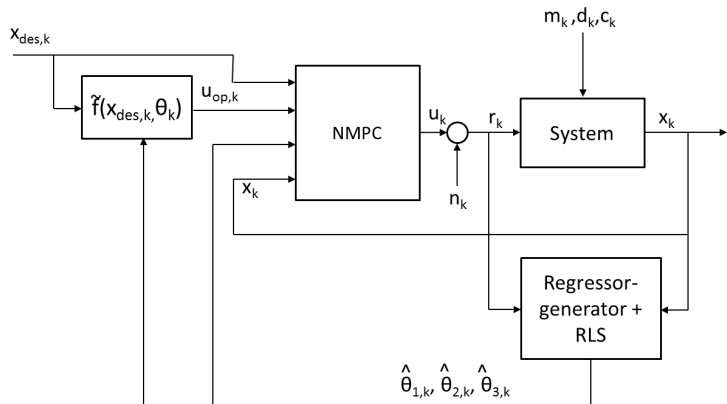
$$x_{k+1} - 2x_k + x_{k-1} =$$

$$\begin{bmatrix} -T_s(x_k - x_{k-1}) - T_s^2 x_{k-1}^3 & T_s^2 u_{k-1} \end{bmatrix} \cdot \begin{bmatrix} \theta_{1,k} \\ \theta_{2,k} \\ \theta_{3,k} \end{bmatrix} + \epsilon_k$$

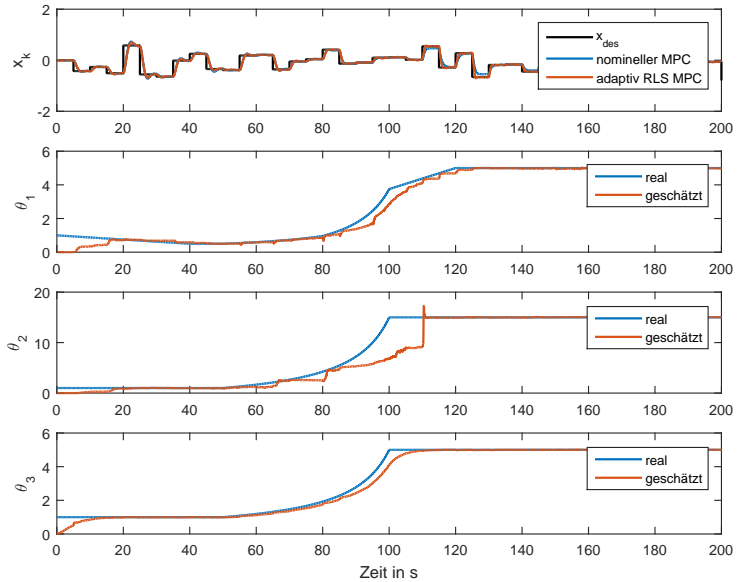
- Simulationsparameter

- $T_s = 0.01\text{ s}$
- $\tilde{Q} = 8T_s$, $\tilde{R} = T_s$
- Prediction horizon $T_f = 1\text{ s}$
- Vergessensfaktor $\lambda = 0.997$
- Dithersignal $n_k \sim \mathcal{N}(0, 0.01)$

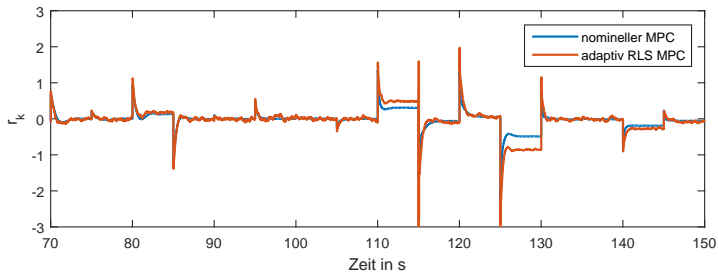
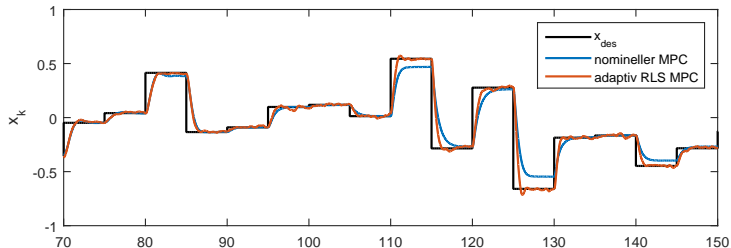
Kombination von RLS und MPC



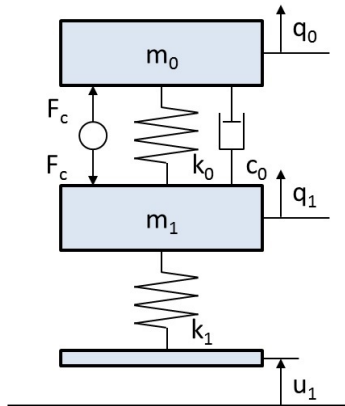
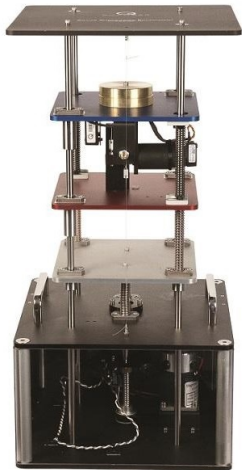
Kombination von RLS und MPC



Kombination von RLS und MPC

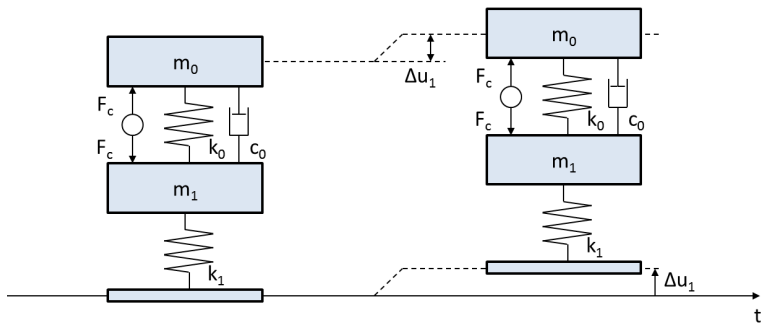


Reales System Viertelfahrzeug



Reales System Viertelfahrzeug

- Ziel: Regulierung der Geschwindigkeit $v_0(t)$ zu 0
- Umsetzung: Folgeregelung für die Vertikalposition $q_0(t)$ mit Referenz $u_1(t)$



Reales System Viertelfahrzeug

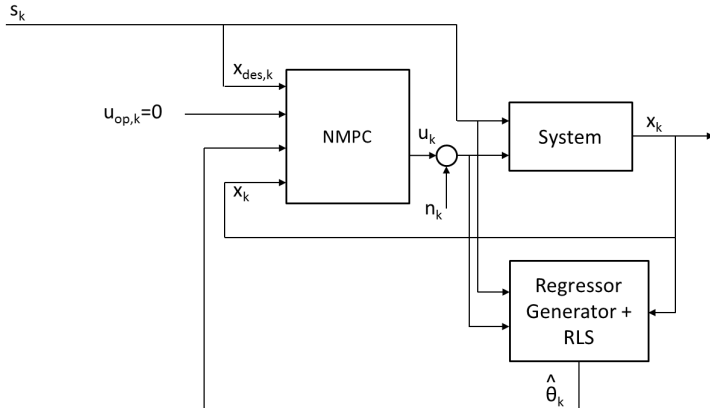
- Modell

$$\begin{aligned}x_{k+1} = & -\theta_1 x_k - \theta_2 x_{k-1} - \theta_3 x_{k-2} - \theta_4 x_{k-3} + \theta_5 s_k + \theta_6 s_{k-1} + \\& \theta_7 s_{k-2} + \theta_8 s_{k-3} + \theta_9 u_k + \theta_{10} u_{k-1} + \theta_{11} u_{k-2} + \theta_{12} u_{k-3}\end{aligned}$$

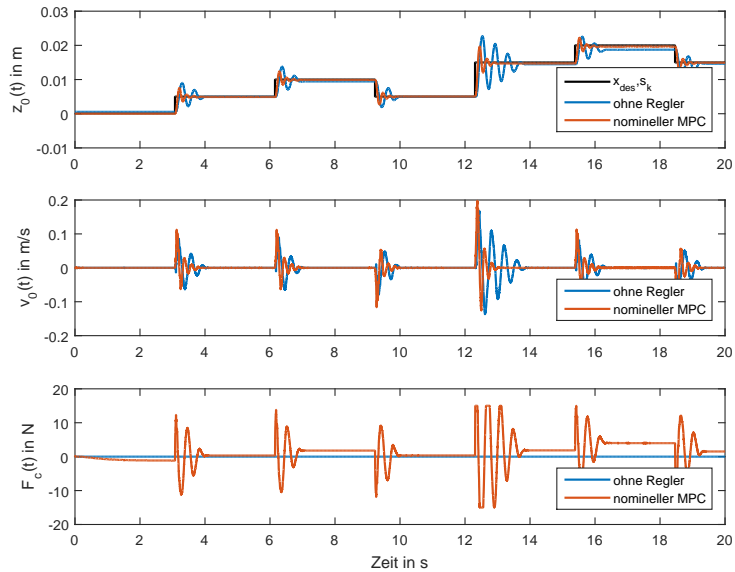
- Parameter

- $T_s = 1 \text{ ms}$
- $\tilde{Q} = 10^8 T_s, \tilde{R} = T_s$
- Prediction horizon $T_f = 0.04 \text{ s}$
- Stellgrößenbeschränkung $\pm 15 \text{ N}$
- Vergessensfaktor $\lambda = 0.999$
- Dithersignal $n_k = 0$

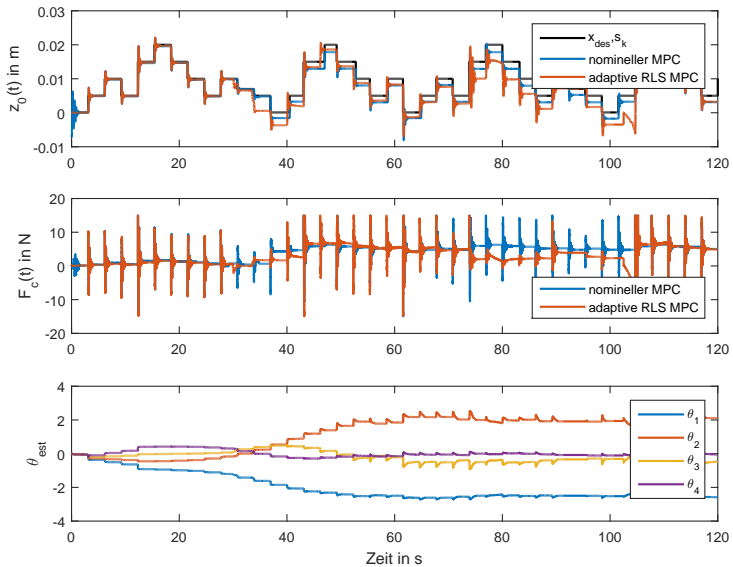
Reales System Viertelfahrzeug



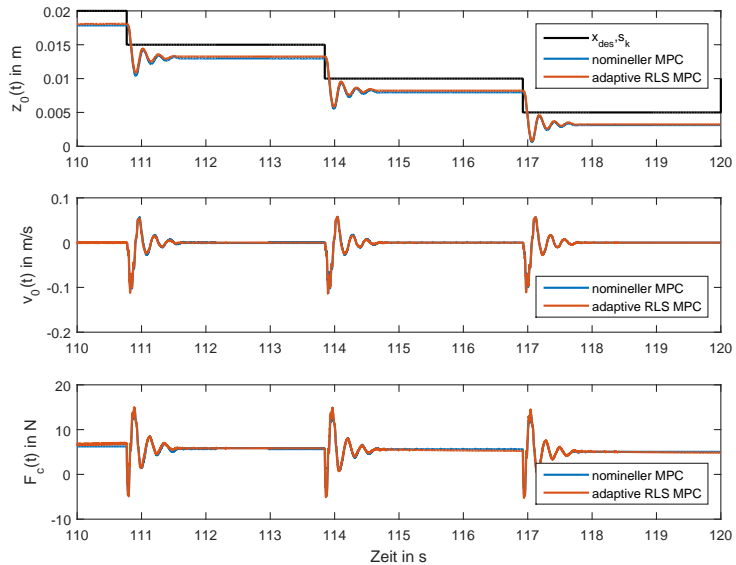
Reales System Viertelfahrzeug



Reales System Viertelfahrzeug



Reales System Viertelfahrzeug



Zusammenfassung

- Probleme der Identifikation
 - Unzureichende Anregung
 - Overfitting
- Kombination von RLS und C/GMRES-MPC
- Erhöhung der Performance